

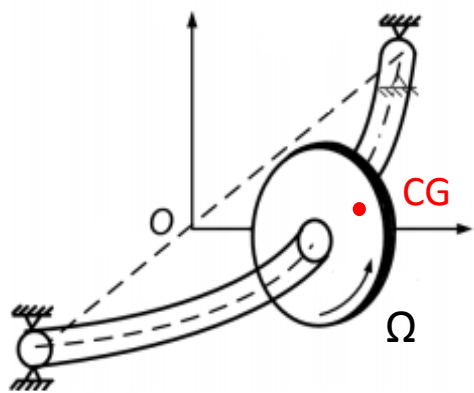
# SEM 5903 – Dinâmica de Sistemas Rotativos

AULA 5 – Modelagem do Rotor por Elementos Finitos

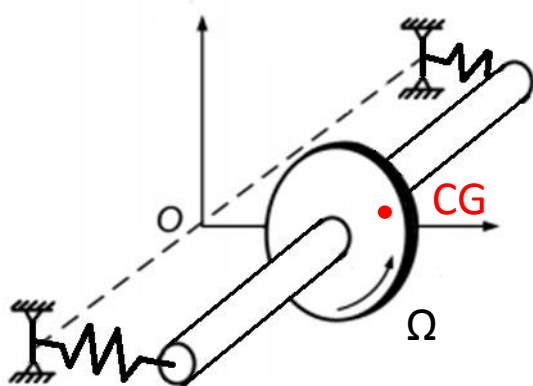
Prof. Rodrigo Nicoletti



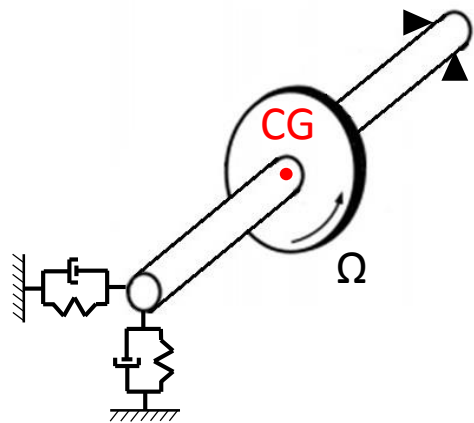
# Sistemas Rotativos Complexos



disco sobre eixo flexível e mancais rígidos

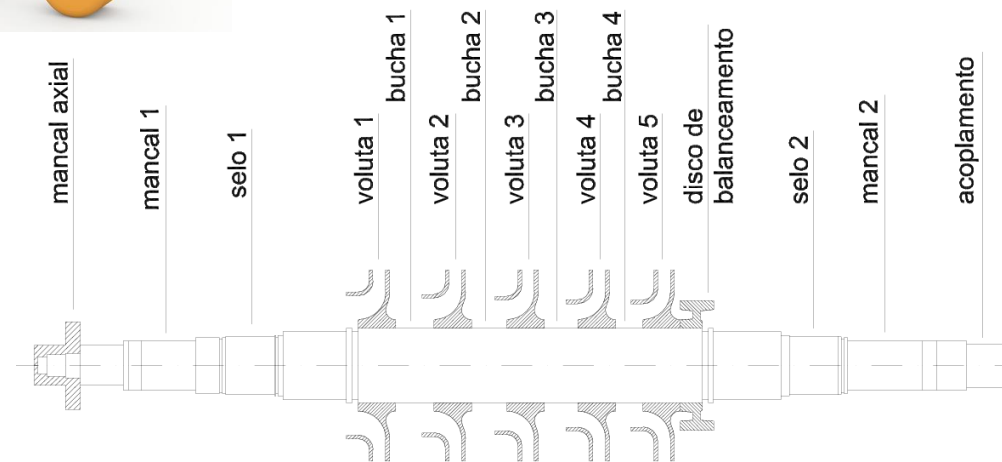
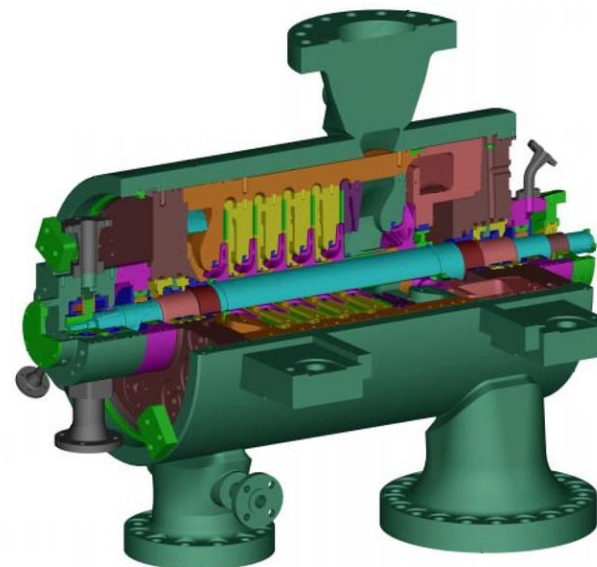


disco sobre eixo rígido e mancais flexíveis



disco sobre eixo rígido e mancais flexíveis com efeito giroscópico

## Compressor de 5 estágios Dresser-Rand



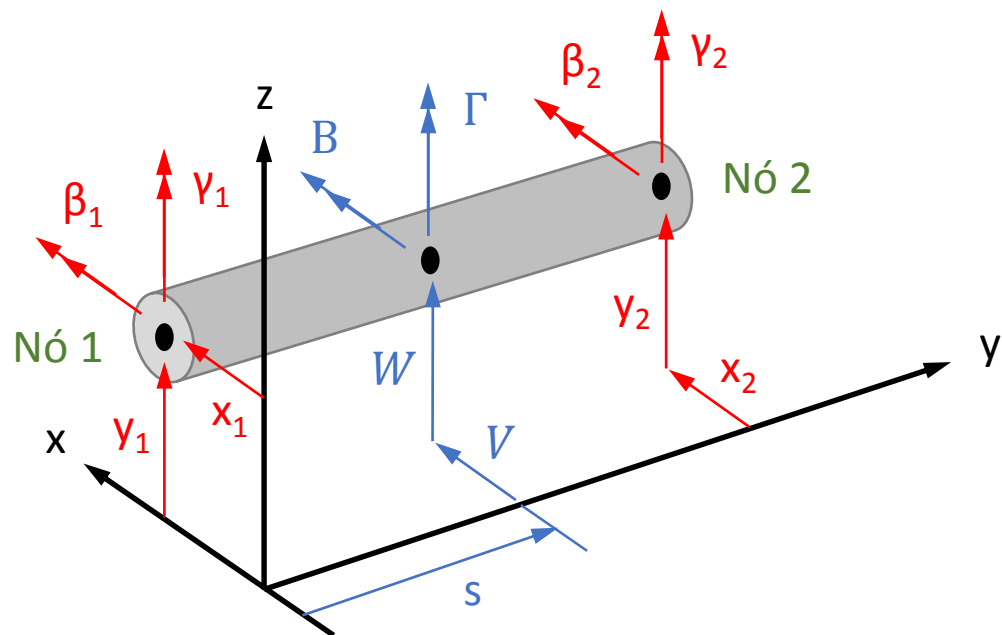
# Modelo em Elementos Finitos

NELSON, H.D., McVAUGH, J.M., The Dynamics of Rotor-Bearing Systems Using Finite Elements, *Journal of Engineering for Industry* 98(2), pp.593-600, 1976

- Ideia:**
- Discretizar o sistema rotativo em partes de geometria conhecida
  - **Seções de eixo com raio constante** são representados por **vigas de Euler-Bernoulli circulares**
  - **Corpos com menor flexibilidade montados sobre o eixo** (volutas, volantes, polias, flanges, discos palhetados, etc) são representados por **discos rígidos**
  - **Mancais, selos e acoplamentos** são representados por suas **matrizes de rigidez e de amortecimento**



# Elementos Finito de Eixo



As rotações estão relacionadas com as translações:

$$\begin{cases} B = -\frac{\partial w}{\partial s} \\ \Gamma = \frac{\partial v}{\partial s} \end{cases}$$

As translações podem ser expressas como função dos graus-de-liberdade dos nós através de funções Hermitianas:

$$\begin{Bmatrix} V \\ W \end{Bmatrix} = \Psi(s) \mathbf{q}(t)$$

Onde:  $\mathbf{q}(t) = \{x_1 \quad y_1 \quad \beta_1 \quad \gamma_1 \quad x_2 \quad y_2 \quad \beta_2 \quad \gamma_2\}^T$

$$\Psi(s) = \begin{bmatrix} \psi_1 & 0 & 0 & \psi_2 & \psi_3 & 0 & 0 & \psi_4 \\ 0 & \psi_1 & -\psi_2 & 0 & 0 & \psi_3 & -\psi_4 & 0 \end{bmatrix}$$

$(\psi_1, \psi_2, \psi_3, \psi_4)$  são funções Hermitianas

# Elementos Finito de Eixo

Da mesma forma, pode-se escrever:  $\begin{Bmatrix} B \\ \Gamma \end{Bmatrix} = \Phi(s) \mathbf{q}(t)$

Onde:  $\Phi(s) = \begin{bmatrix} \Phi_B \\ \Phi_\Gamma \end{bmatrix} = \begin{bmatrix} 0 & -\psi'_1 & \psi'_2 & 0 & 0 & -\psi'_3 & \psi'_4 & 0 \\ \psi'_1 & 0 & 0 & \psi'_2 & \psi'_3 & 0 & 0 & \psi'_4 \end{bmatrix}$

$(\psi'_1, \psi'_2, \psi'_3, \psi'_4)$  são derivadas das funções Hermitianas em  $s$

Para um disco de espessura diferencial localizado na posição  $s$  do elemento de eixo:

**ENERGIA POTENCIAL ELÁSTICA**  $\left\{ \begin{array}{l} \\ \\ \end{array} \right.$   $dU = \frac{1}{2} \begin{Bmatrix} V'' \\ W'' \end{Bmatrix}^T \begin{bmatrix} EI & 0 \\ 0 & EI \end{bmatrix} \begin{Bmatrix} V'' \\ W'' \end{Bmatrix} ds = \frac{1}{2} EI \mathbf{q}^T \Psi''^T \Psi'' \mathbf{q} ds$

**ENERGIA CINÉTICA**  $\left\{ \begin{array}{l} \\ \\ \end{array} \right.$   $dT = \frac{1}{2} \begin{Bmatrix} \dot{V} \\ \dot{W} \end{Bmatrix}^T \begin{bmatrix} \rho A & 0 \\ 0 & \rho A \end{bmatrix} \begin{Bmatrix} \dot{V} \\ \dot{W} \end{Bmatrix} ds + \frac{1}{2} \Omega^2 I_p ds + \frac{1}{2} \begin{Bmatrix} \dot{B} \\ \dot{\Gamma} \end{Bmatrix}^T \begin{bmatrix} I_t & 0 \\ 0 & I_t \end{bmatrix} \begin{Bmatrix} \dot{B} \\ \dot{\Gamma} \end{Bmatrix} ds - \Omega \dot{\Gamma} B I_p ds =$   
 $= \frac{1}{2} \rho A \dot{\mathbf{q}}^T \Psi^T \Psi \dot{\mathbf{q}} ds + \frac{1}{2} \Omega^2 I_p ds + \frac{1}{2} I_t \dot{\mathbf{q}}^T \Phi^T \Phi \dot{\mathbf{q}} ds - \Omega I_p \dot{\mathbf{q}}^T \Phi_\Gamma^T \Phi_\Gamma \mathbf{q} ds$

# Elementos Finito de Eixo

Integrando-se no intervalo  $[0,L]$  do comprimento do elemento de eixo, obtêm-se as energias potencial e cinética do elemento de eixo

Inserindo-se estas expressões da energia potencial e cinética na Equação de Lagrange, chega-se a:

$$(\mathbf{M}_T^e + \mathbf{M}_R^e)\ddot{\mathbf{q}} - \Omega \mathbf{G}^e \dot{\mathbf{q}} + \mathbf{K}^e \mathbf{q} = \mathbf{0}$$

*Equação do Elemento de Eixo*

Onde:

$$\mathbf{M}_T^e = \int_0^L \rho A \boldsymbol{\Psi}^T \boldsymbol{\Psi} ds \quad (\text{matriz de inércia de translação})$$

$$\mathbf{M}_R^e = \int_0^L I_t \boldsymbol{\Phi}^T \boldsymbol{\Phi} ds \quad (\text{matriz de inércia de rotação})$$

$$\mathbf{K}^e = \int_0^L EI \boldsymbol{\Psi}''^T \boldsymbol{\Psi}'' ds \quad (\text{matriz de rigidez})$$

$$\mathbf{G}^e = \mathbf{N}^e - \mathbf{N}^{eT} \quad (\text{matriz giroscópica})$$

$$\mathbf{N}^e = \int_0^L I_p \boldsymbol{\Phi}_\Gamma^T \boldsymbol{\Phi}_B ds$$

# Elementos Finito de Eixo

## Matriz de Inércia de Translação

$$M_T^e = \frac{\rho AL}{420} \begin{bmatrix} 156 & & & & & & & & \\ 0 & 156 & & & & & & & \\ 0 & -22L & 4L^2 & & & & & & \\ 22L & 0 & 0 & 4L^2 & & & & & \\ 54 & 0 & 0 & 13L & 156 & & & & \\ 0 & 54 & -13L & 0 & 0 & 156 & & & \\ 0 & 13L & -3L^2 & 0 & 0 & 22L & 4L^2 & & \\ -13L & 0 & 0 & -3L^2 & -22L & 0 & 0 & 4L^2 & \end{bmatrix} \quad \textit{sim.}$$

## Matriz Giroscópica

$$G^e = \frac{\rho Ar^2}{60L} \begin{bmatrix} 0 & & & & & & & & \\ 36 & 0 & & & & & & & \\ -3L & 0 & 0 & & & & & & \\ 0 & -3L & 4L^2 & 0 & & & & & \\ 0 & 36 & -3L & 0 & 0 & & & & \\ -36 & 0 & 0 & -3L & 36 & 0 & & & \\ -3L & 0 & 0 & L^2 & 3L & 0 & 0 & & \\ 0 & -3L & -L^2 & 0 & 0 & 3L & 4L^2 & 0 & \end{bmatrix} \quad \textit{antissim.}$$

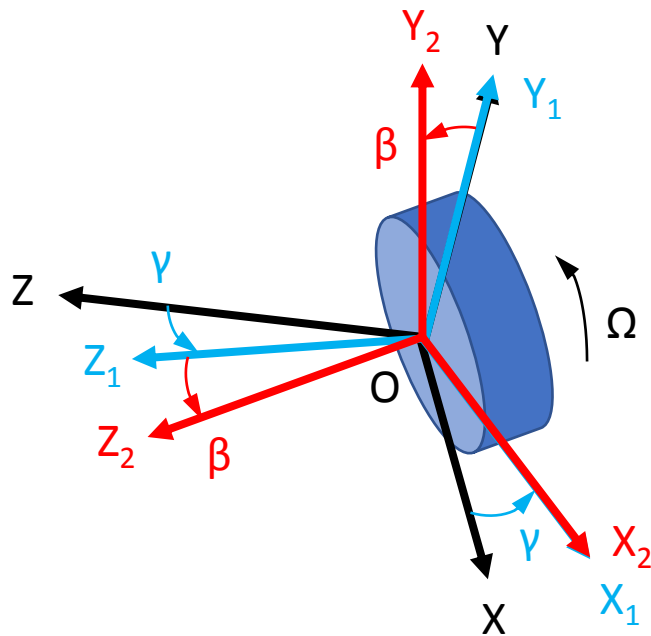
## Matriz de Inércia de Rotação

$$M_R^e = \frac{\rho Ar^2}{120L} \begin{bmatrix} 36 & & & & & & & & \\ 0 & 36 & & & & & & & \\ 0 & -3L & 4L^2 & & & & & & \\ 3L & 0 & 0 & 4L^2 & & & & & \\ -36 & 0 & 0 & -3L & 36 & & & & \\ 0 & -36 & 3L & 0 & 0 & 36 & & & \\ 0 & -3L & -L^2 & 0 & 0 & 3L & 4L^2 & & \\ 3L & 0 & 0 & -L^2 & -3L & 0 & 0 & 4L^2 & \end{bmatrix} \quad \textit{sim.}$$

## Matriz de Rigidez

$$K^e = \frac{EI}{L^3} \begin{bmatrix} 12 & & & & & & & & \\ 0 & 12 & & & & & & & \\ 0 & -6L & 4L^2 & & & & & & \\ 6L & 0 & 0 & 4L^2 & & & & & \\ -12 & 0 & 0 & -6L & 12 & & & & \\ 0 & -12 & 6L & 0 & 0 & 12 & & & \\ 0 & -6L & 2L^2 & 0 & 0 & 6L & 4L^2 & & \\ 6L & 0 & 0 & 2L^2 & -6L & 0 & 0 & 4L^2 & \end{bmatrix} \quad \textit{sim.}$$

# Elementos Finito de Disco Rígido



## Matrizes de Transformação

$$\mathbf{T}_\gamma = \begin{bmatrix} \cos \gamma & 0 & -\sin \gamma \\ 0 & 1 & 0 \\ \sin \gamma & 0 & \cos \gamma \end{bmatrix}$$

$$\mathbf{T}_\beta = \begin{bmatrix} 1 & 0 & 0 \\ 0 & \cos \beta & \sin \beta \\ 0 & -\sin \beta & \cos \beta \end{bmatrix}$$

## Vetor Posição do CG

$${}_I \mathbf{r}_o = \begin{pmatrix} x_d \\ y_d \\ 0 \end{pmatrix}$$

## Vetor Velocidade Angular do Disco

$${}_{B2} \boldsymbol{\omega}_d = \mathbf{T}_{\beta B1} \dot{\boldsymbol{\gamma}} + {}_{B2} \dot{\boldsymbol{\beta}} + {}_{B2} \dot{\boldsymbol{\phi}} = \begin{pmatrix} \dot{\beta} \\ \dot{\gamma} \cos \beta \\ \Omega - \dot{\gamma} \sin \beta \end{pmatrix}$$

## Energia Cinética do Disco

$$T_d = \frac{1}{2} m_d {}_I \mathbf{r}_o^T {}_I \mathbf{r}_o + \frac{1}{2} {}_{B2} \boldsymbol{\omega}_d^T {}_{B2} \mathbf{I}_{oB2} {}_{B2} \boldsymbol{\omega}_d$$

# Elementos Finito de Disco Rígido

## Energia Cinética do Disco

$$T_d = \frac{1}{2} m_d \dot{x}_o^2 + \frac{1}{2} m_d \dot{y}_o^2 + \frac{1}{2} I_t (\dot{\beta}^2 + \dot{\gamma}^2 \cos^2 \beta) + \frac{1}{2} I_p (\Omega^2 - 2\Omega \dot{\gamma} \sin \beta + \dot{\gamma}^2 \sin^2 \beta)$$

Linearizando-se, pode-se escrever matricialmente:

$$T_d = \frac{1}{2} \begin{Bmatrix} \dot{x}_d \\ \dot{y}_d \end{Bmatrix}^T \begin{bmatrix} m_d & 0 \\ 0 & m_d \end{bmatrix} \begin{Bmatrix} \dot{x}_d \\ \dot{y}_d \end{Bmatrix} + \frac{1}{2} \begin{Bmatrix} \dot{\beta} \\ \dot{\gamma} \end{Bmatrix}^T \begin{bmatrix} I_t & 0 \\ 0 & I_t \end{bmatrix} \begin{Bmatrix} \dot{\beta} \\ \dot{\gamma} \end{Bmatrix} + \frac{1}{2} I_p (\Omega^2 - 2\Omega \dot{\gamma} \beta)$$

Inserindo-se na Equação de Lagrange, chega-se a:

$$\mathbf{M}^d \ddot{\mathbf{q}}^d - \Omega \mathbf{G}^d \dot{\mathbf{q}}^d = \mathbf{0}$$

*Equação do Elemento de Disco*

Onde:  $\mathbf{q}^d = \begin{Bmatrix} x_d \\ y_d \\ \beta_d \\ \gamma_d \end{Bmatrix}$

**Matrix de Inércia**

$$\mathbf{M}^d = \begin{bmatrix} m_d & & & \\ & m_d & & \\ & & I_t & \\ & & & I_t \end{bmatrix}$$

**Matrix Giroscópica**

$$\mathbf{G}^d = \begin{bmatrix} 0 & & & \\ & 0 & & \\ & & 0 & -I_p \\ & & I_p & 0 \end{bmatrix}$$

# Elementos Finito de Manca

Mancais, selos e acoplamentos podem ser representados por suas respectivas matrizes de rigidez e amortecimento:

$$\mathbf{D}^m \dot{\mathbf{q}}^m + \mathbf{K}^m \mathbf{q}^m = \mathbf{0}$$

*Equação do Elemento de Manca*

Onde:  $\mathbf{q}^m = \begin{Bmatrix} x_m \\ y_m \\ \beta_m \\ \gamma_m \end{Bmatrix}$

**Matrix de Rigidez**

$$\mathbf{K}^m = \begin{bmatrix} k_{xx} & k_{xy} & k_{x\beta} & k_{x\gamma} \\ k_{yx} & k_{yy} & k_{y\beta} & k_{y\gamma} \\ k_{\beta x} & k_{\beta y} & k_{\beta\beta} & k_{\beta\gamma} \\ k_{\gamma x} & k_{\gamma y} & k_{\gamma\beta} & k_{\gamma\gamma} \end{bmatrix}$$

**Matrix de Amortecimento**

$$\mathbf{D}^m = \begin{bmatrix} d_{xx} & d_{xy} & d_{x\beta} & d_{x\gamma} \\ d_{yx} & d_{yy} & d_{y\beta} & d_{y\gamma} \\ d_{\beta x} & d_{\beta y} & d_{\beta\beta} & d_{\beta\gamma} \\ d_{\gamma x} & d_{\gamma y} & d_{\gamma\beta} & d_{\gamma\gamma} \end{bmatrix}$$

# Matrizes Globais do Modelo

Assim, agrupando-se todas as equações de movimento, tem-se:

*Equação do Elemento de Eixo*

$$(M_T^e + M_R^e)\ddot{q} - \Omega G^e \dot{q} + K^e q = 0$$

*Equação do Elemento de Disco*

$$M^d \ddot{q}^d - \Omega G^d \dot{q}^d = 0$$

*Equação do Elemento de Mancal*

$$D^m \dot{q}^m + K^m q^m = 0$$

**Equação de Movimento**

$$\underbrace{(M_T^e + M_R^e + M^d)}_{M_G} \ddot{q} + \underbrace{[D^m - \Omega(G^e + G^d)]}_{D_G} \dot{q} + \underbrace{(K^e + K^m)}_{K_G} q = 0$$

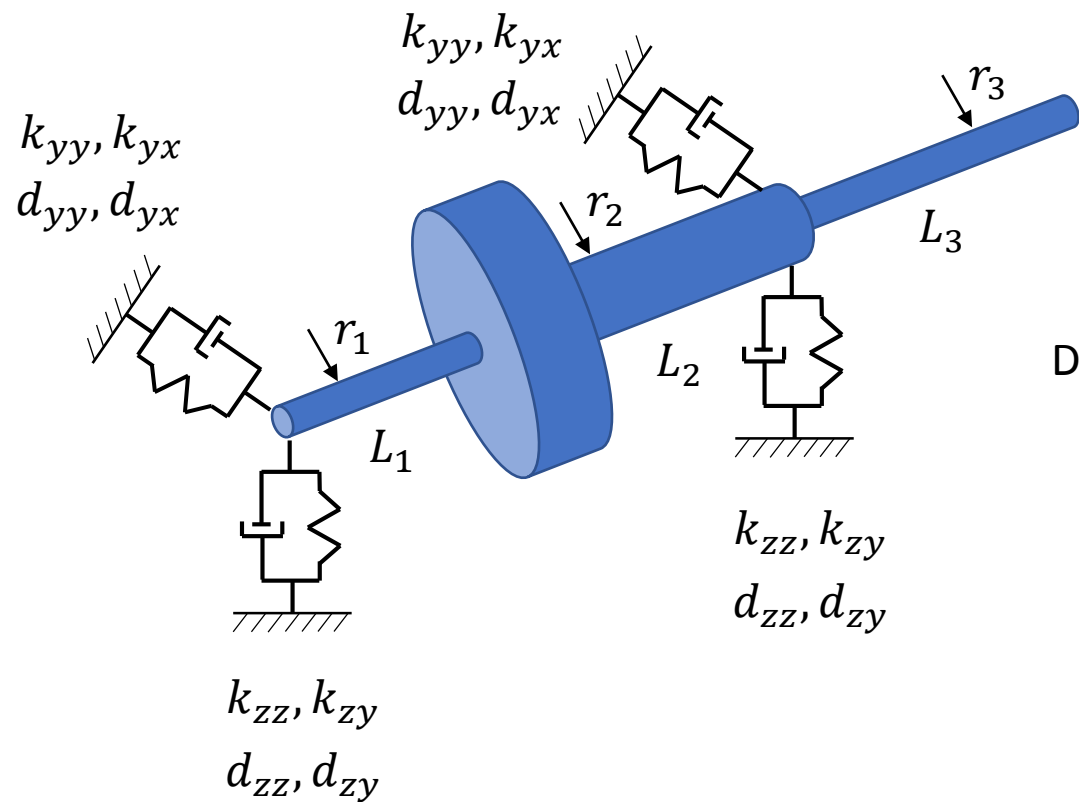
*Matriz Global  
de Inércia*

*Matriz Global de  
Amortecimento*

*Matriz Global  
Giroscópica*

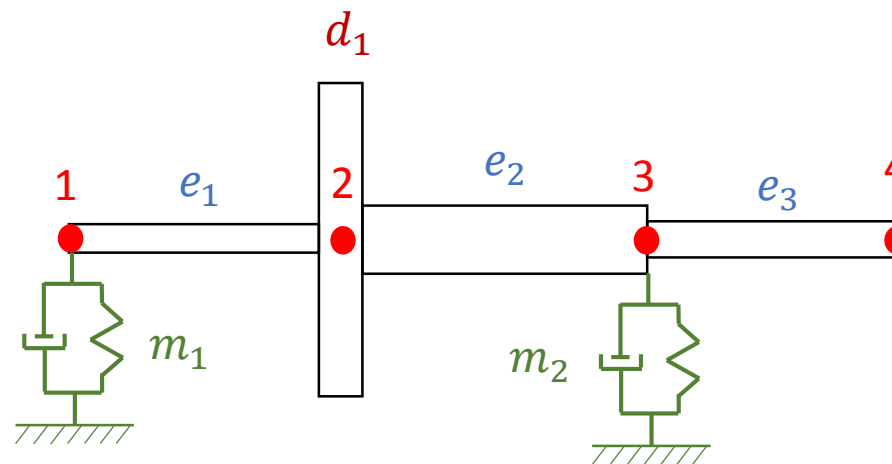
*Matriz Global  
de Rigidez*

# Exemplo



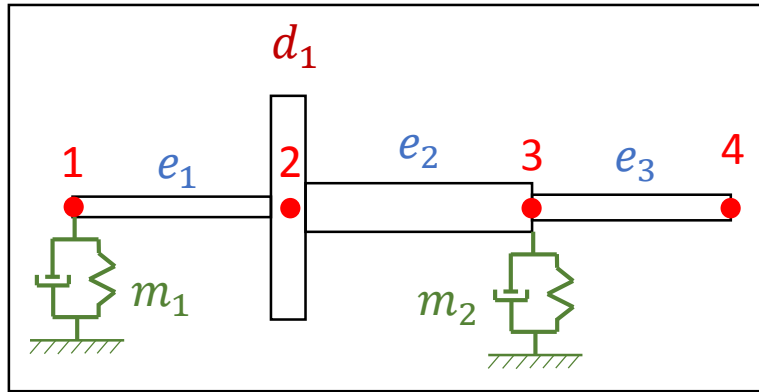
Desenho esquemático do modelo em elementos finitos:

nós  
 elementos de eixo  
 elementos de disco  
 elementos de mancal



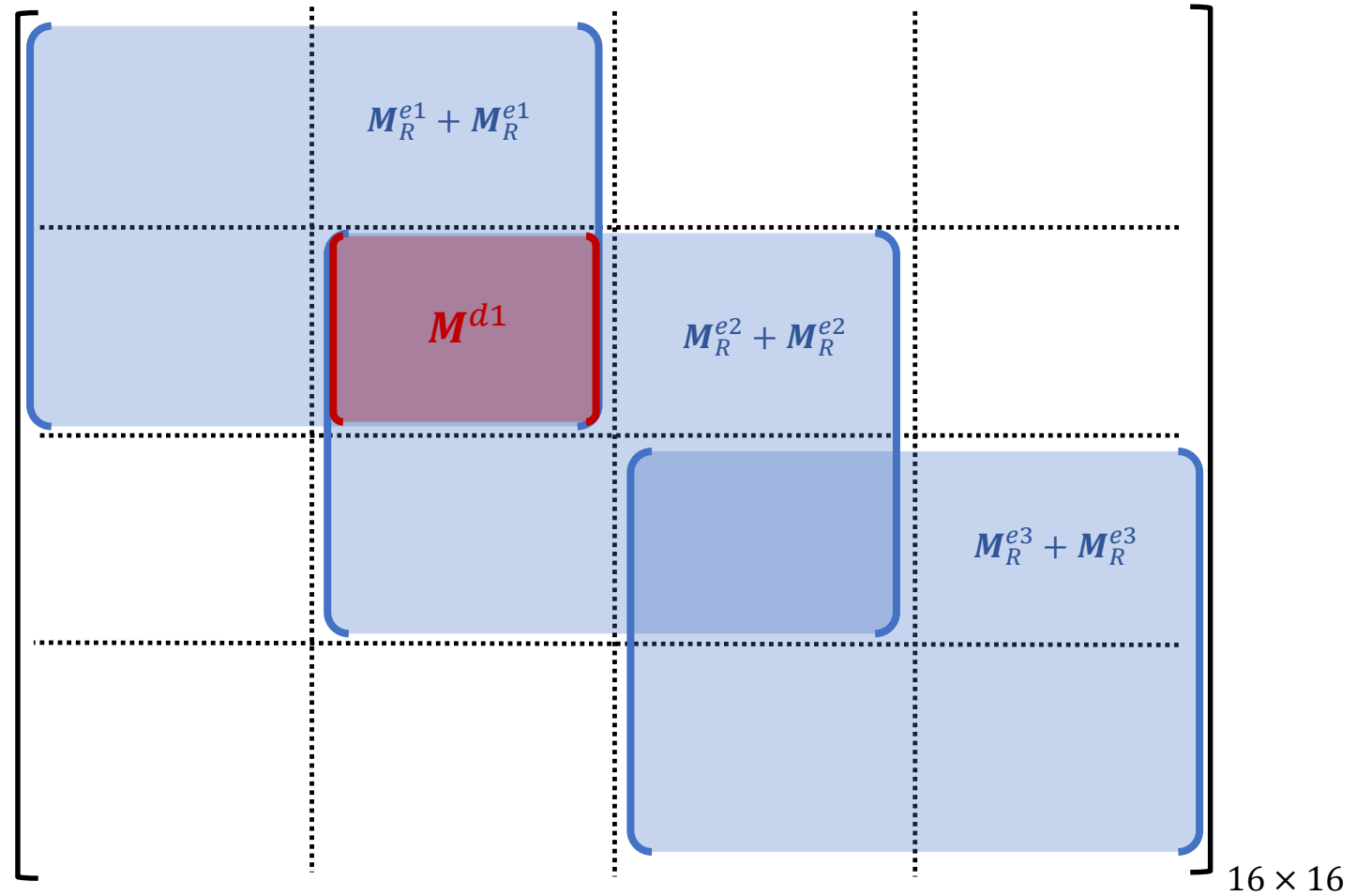
Vetor de graus-de-liberdade:  $\mathbf{q} = \{x_1 \ y_1 \ \beta_1 \ \gamma_1 \ x_2 \ y_2 \ \beta_2 \ \gamma_2 \ x_3 \ y_3 \ \beta_3 \ \gamma_3 \ x_4 \ y_4 \ \beta_4 \ \gamma_4\}^T$

# Exemplo

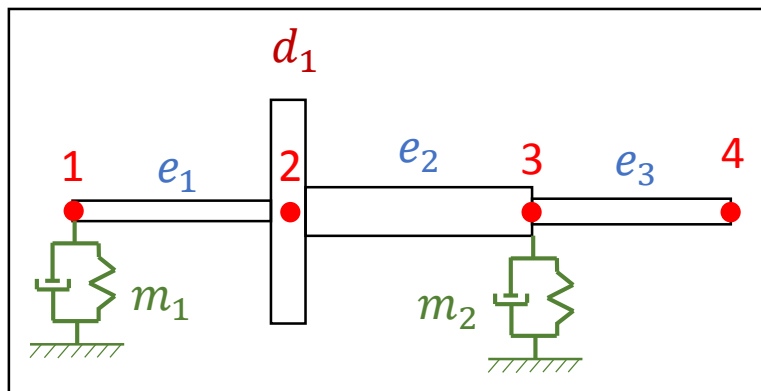


Montagem da **matriz de inércia global**:

$$M_G = \sum M_T^e + M_R^e + M^d =$$

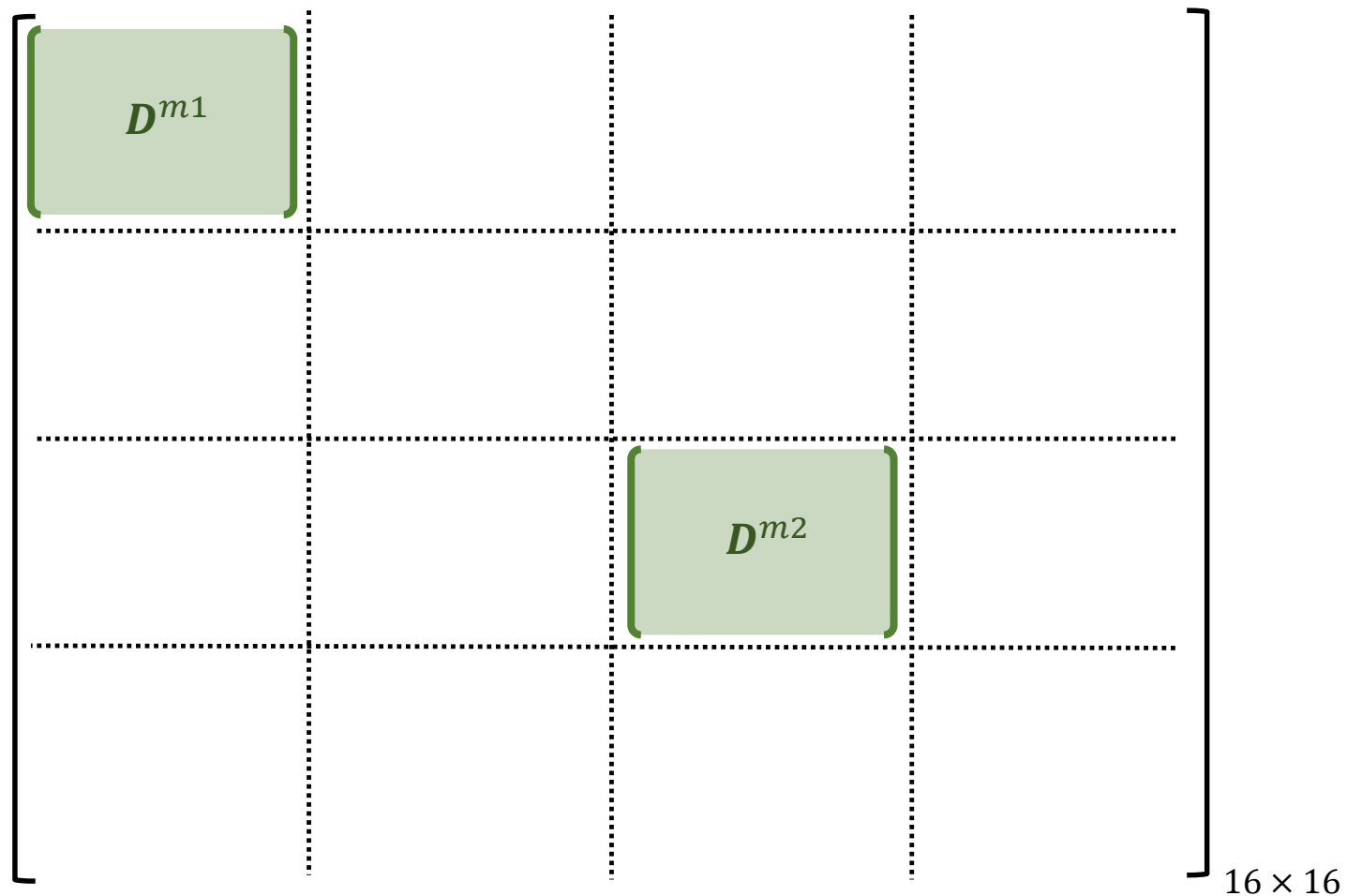


# Exemplo

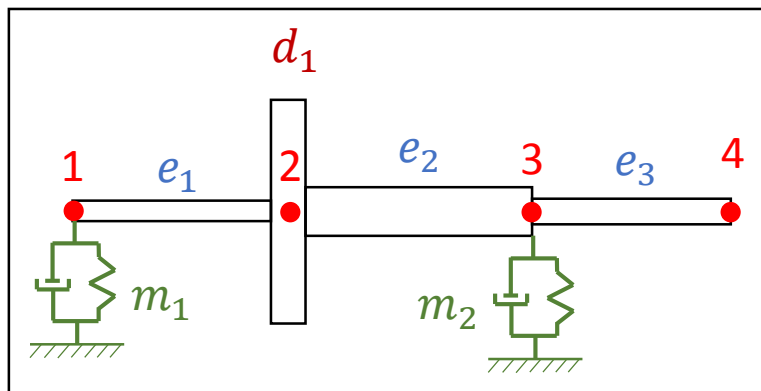


Montagem da **matriz de amortecimento global**:

$$D_G = \sum D^m =$$

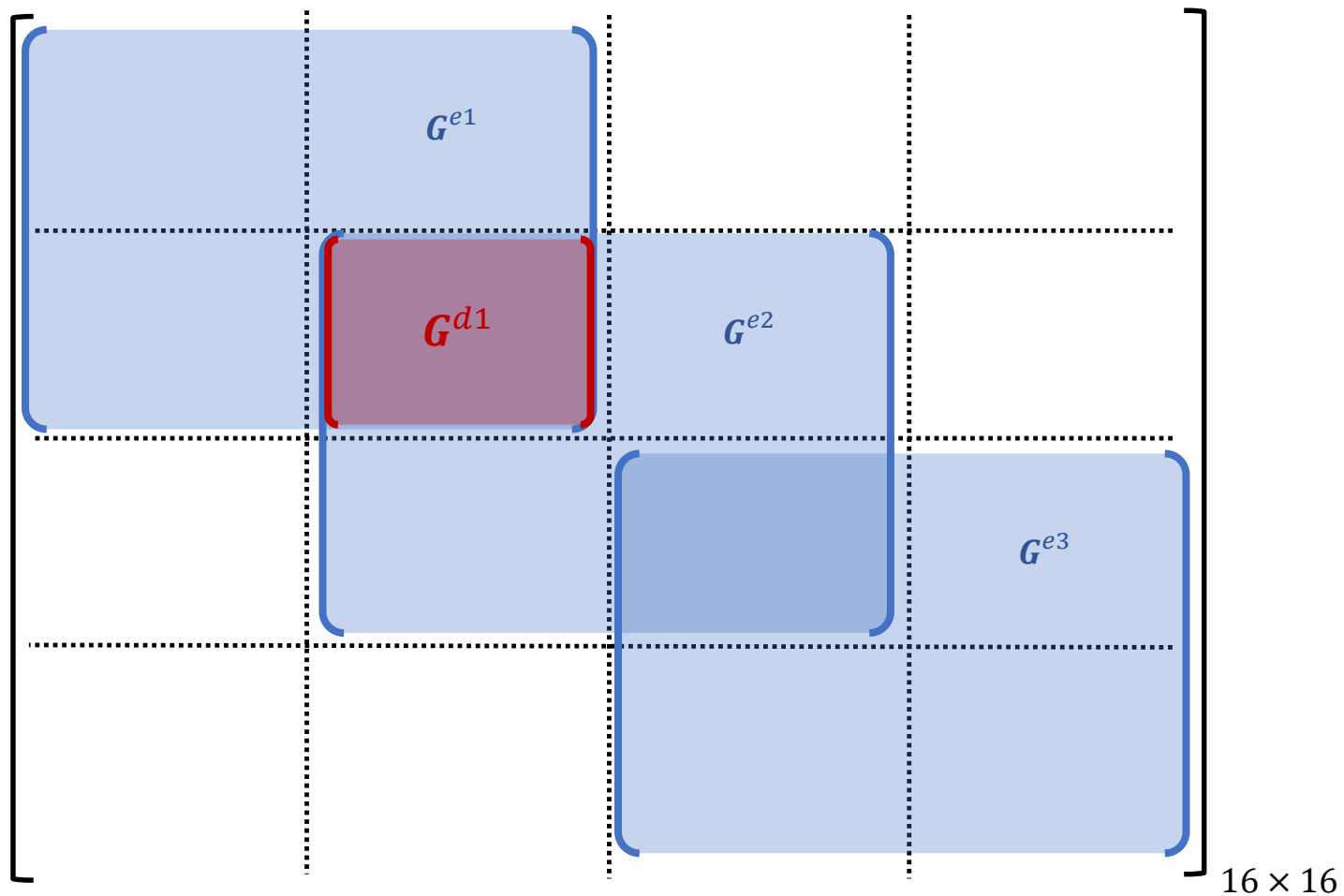


# Exemplo

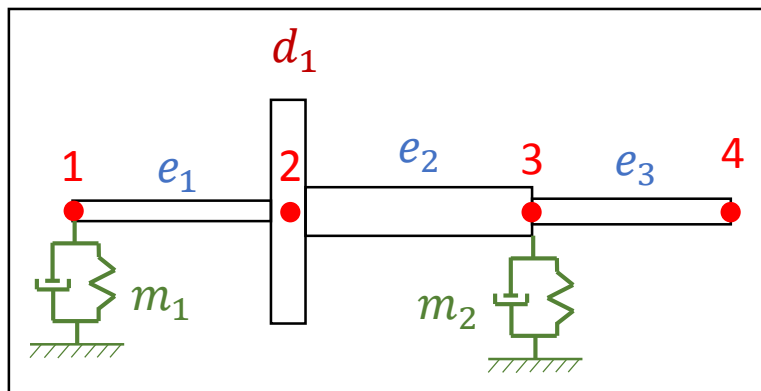


Montagem da **matriz giroscópica global**:

$$G_G = \sum G^e + G^d =$$

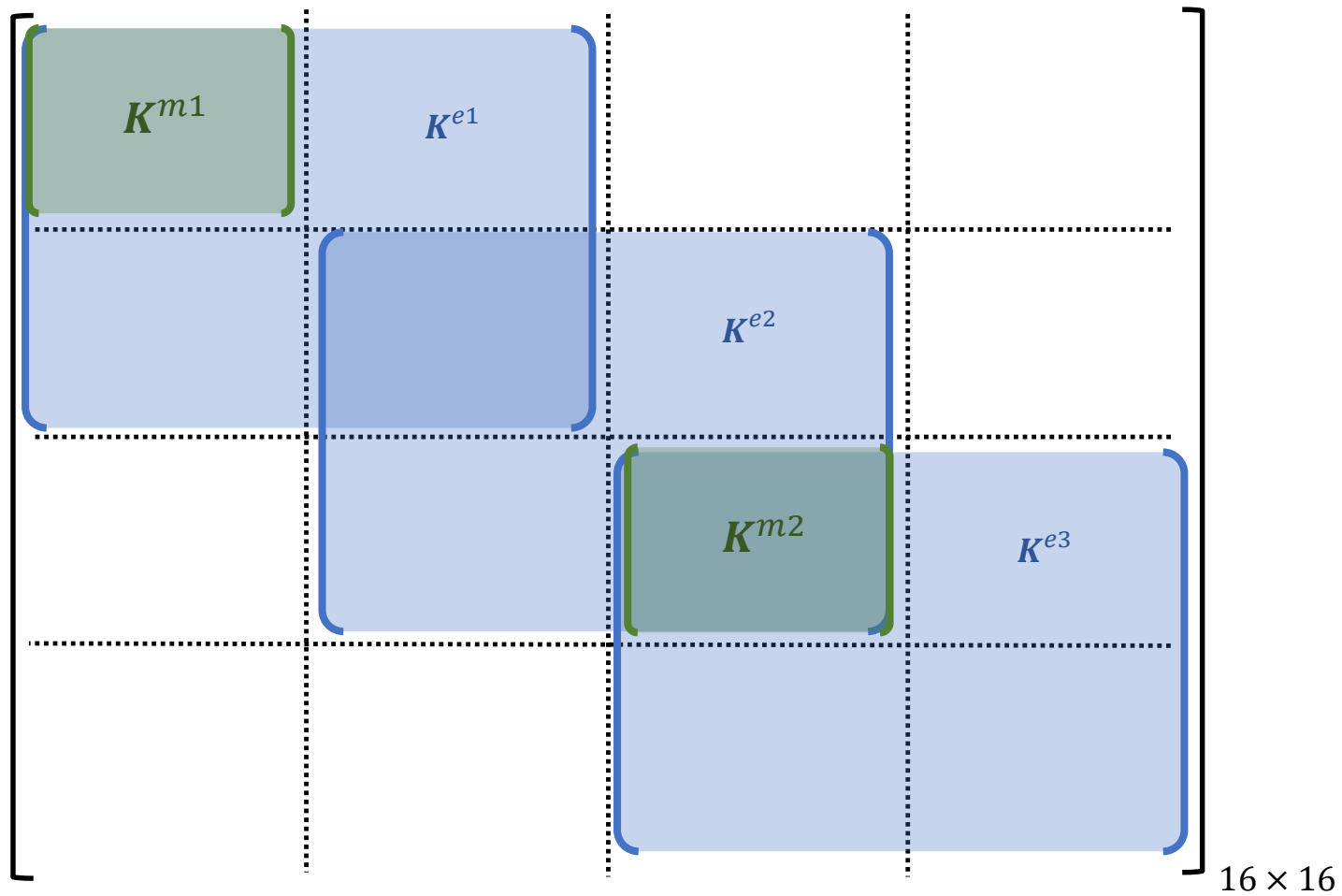


# Exemplo

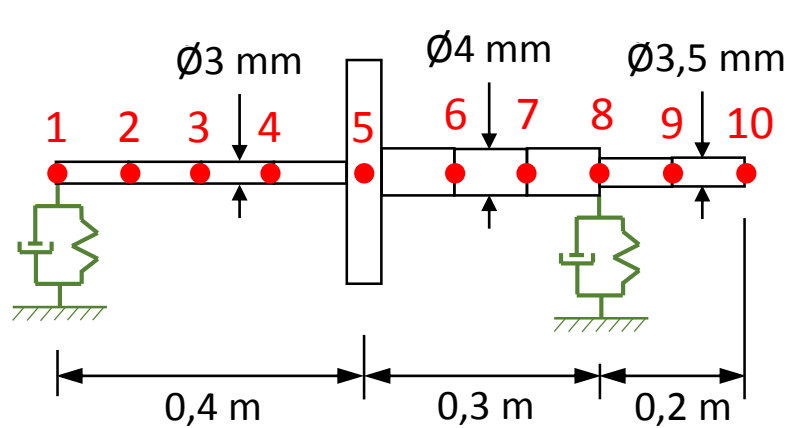


Montagem da **matriz de rigidez global**:

$$K_G = \sum K^e + K^m =$$



# Exemplo

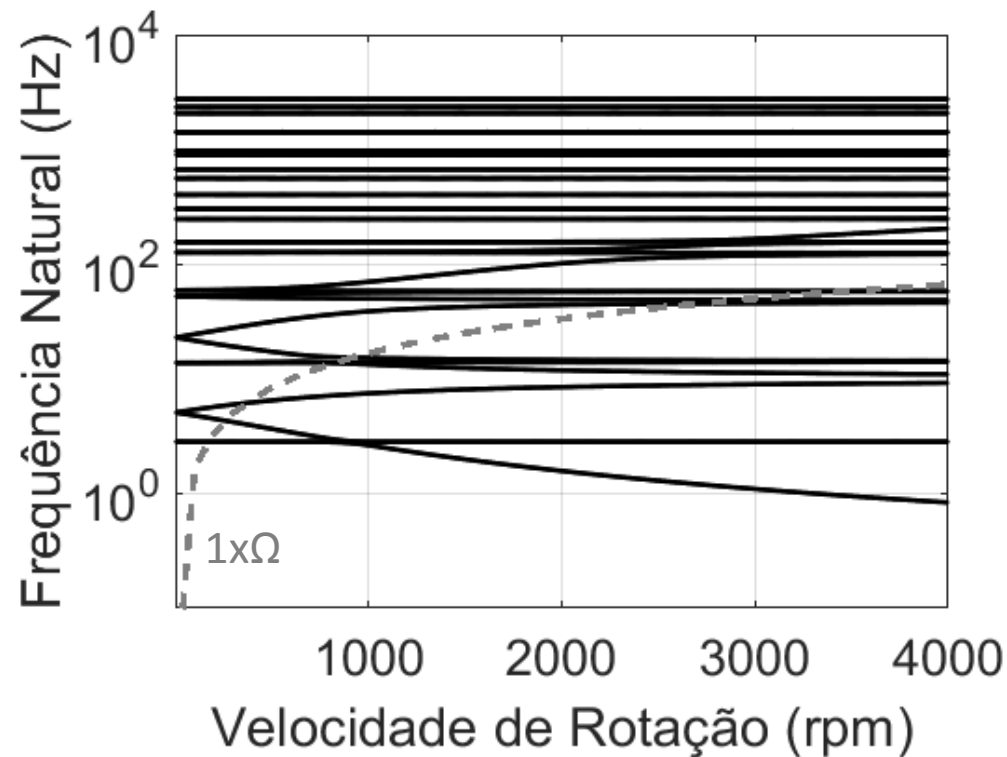


10 nós → 40 gdl

**DISCO:**  $m_d = 2 \text{ kg}$   
 $I_p = 0,06 \text{ kg.m}^2$   
 $I_t = 0,02 \text{ kg.m}^2$

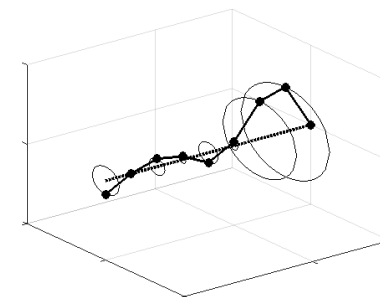
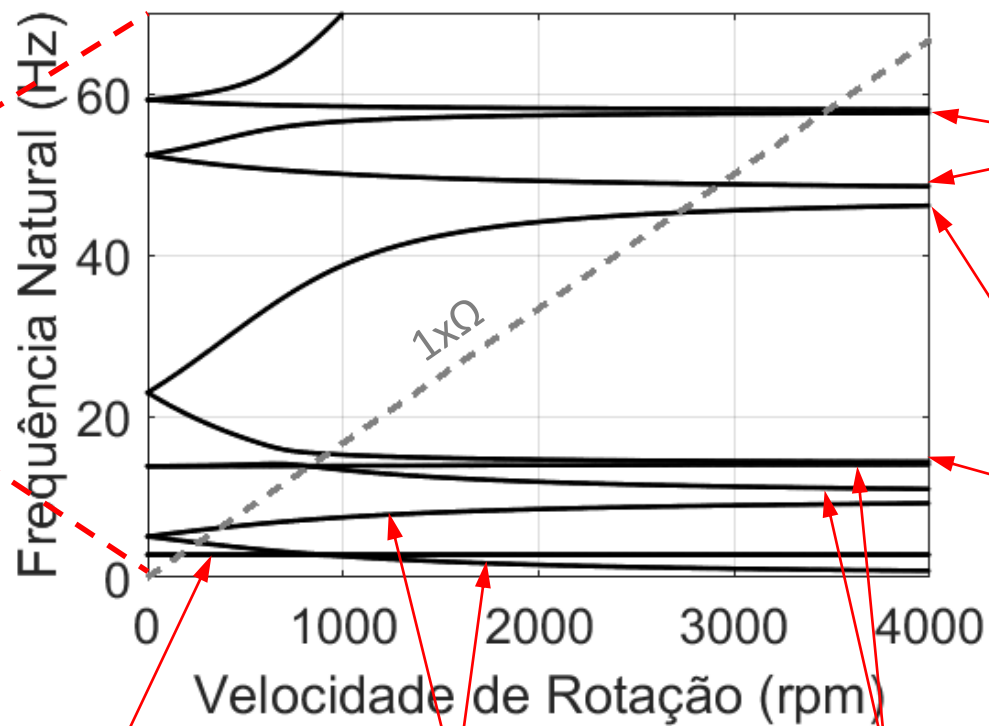
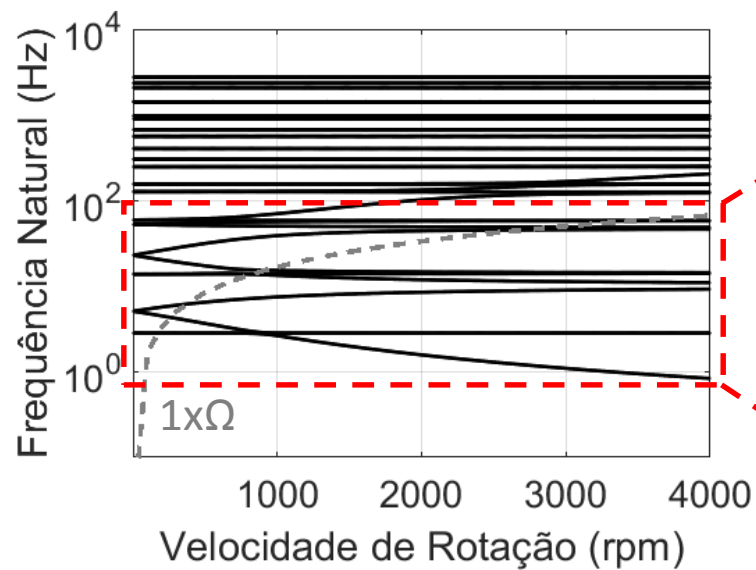
**EIXO:**  $\rho = 7850 \text{ kg/m}^3$   
 $E = 2,1 \times 10^{11} \text{ kg/m}^2$   
 $I_t = 0,02 \text{ kg.m}^2$

**MANCAL:**  $k_{xx} = k_{yy} = 1000 \text{ N/m}$   
 $k_{\theta\theta} = k_{\gamma\gamma} = 10 \text{ N.m/rad}$   
 $d_{xx} = d_{yy} = 10 \text{ N.s/m}$

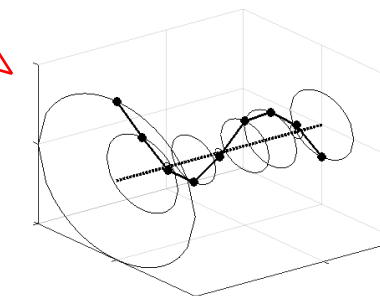


40 frequências naturais !!!

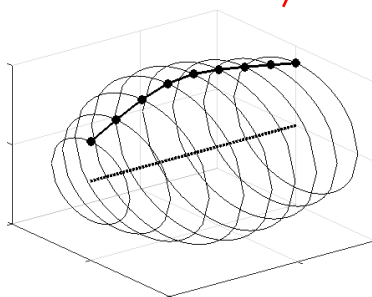
# Exemplo



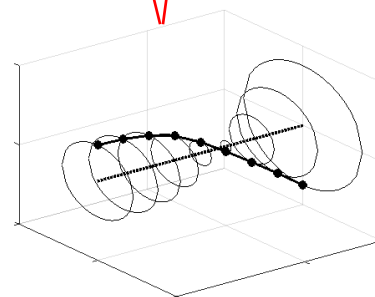
3º modo flexão



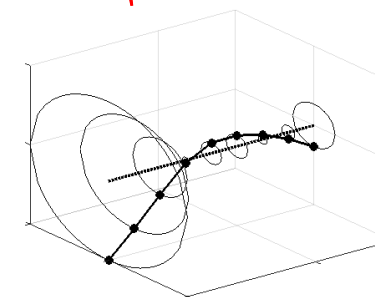
2º modo flexão



modo cilíndrico



modo cônico



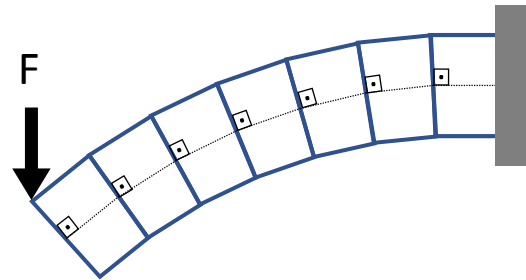
1º modo flexão

# Modelo em Elementos Finitos

NELSON, H.D., McVAUGH, J.M., The Dynamics of Rotor-Bearing Systems Using Finite Elements, **Journal of Engineering for Industry** 98(2), pp.593-600, 1976

## Teoria de viga de Euler-Bernoulli

- Despreza a tensão de cisalhamento no interior da viga
- Considera que a seção transversal da viga permanece perpendicular à linha neutra



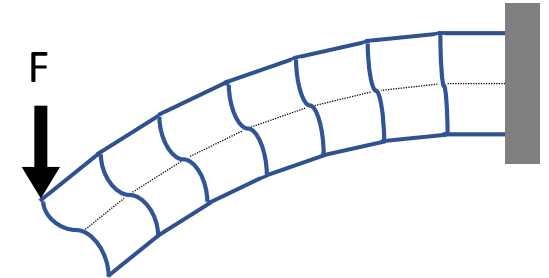
- Hipótese válida para vigas com relação  $L/D > 10$

# Modelo em Elementos Finitos

NELSON, H.D., A Finite Rotating Shaft Element Using Timoshenko Beam Theory, *Journal of Mechanical Design* 102(4), pp.793-803, 1980

## Teoria de viga de Timoshenko

- Considera a tensão de cisalhamento no interior da viga
- A seção transversal da viga não permanece perpendicular à linha neutra



Equação de movimento:  $(\mathbf{M}_T^e + \mathbf{M}_R^e + \mathbf{M}^d)\ddot{\mathbf{q}} + [\mathbf{D}^m - \Omega(\mathbf{G}^e + \mathbf{G}^d)]\dot{\mathbf{q}} + (\mathbf{K}^e + \mathbf{K}^m)\mathbf{q} = \mathbf{0}$

Mas:  $\mathbf{M}_T^e = \mathbf{M}_0 + \Phi\mathbf{M}_1 + \Phi^2\mathbf{M}_2$

$$\mathbf{M}_R^e = \mathbf{N}_0 + \Phi\mathbf{N}_1 + \Phi^2\mathbf{N}_2$$

$$\mathbf{G}^e = \mathbf{G}_0 + \Phi\mathbf{G}_1 + \Phi^2\mathbf{G}_2$$

$$\mathbf{K}^e = \mathbf{K}_0 + \Phi\mathbf{K}_1$$

Onde:  $\Phi = \frac{12EI}{kAGL^2}$

$$\begin{cases} k \approx 0,9 & \text{seção quadrada (aço ou alumínio)} \\ k \approx 5/6 & \text{seção circular (aço ou alumínio)} \end{cases}$$

*mesmas matrizes do modelo de Euler-Bernoulli !!!*

COWPER, G.R., The Shear Coefficient in Timoshenko's Beam Theory, *Journal of Applied Mechanics* 33(2), pp.335-340, 1966



# Conclusão

Modelagem por **Elementos Finitos** permite a análise de rotores complexos:

- eixo flexível com diferentes raios (eixo escalonado)
- qualquer número de discos e posicionados em qualquer lugar no eixo
- mancais anisotrópicos e posicionados em qualquer lugar no eixo
- possibilidade de inclusão dos efeitos de selos e acoplamentos

Modelo baseado na **teoria de viga de Euler-Bernoulli**

- despreza os efeitos da tensão de cisalhamento
- hipótese válida para vigas com relação  $L/D > 10$

Modelo baseado na **teoria de viga de Timoshenko**

- considera os efeitos da tensão de cisalhamento

**Dúvidas ?**

